

1 / 27

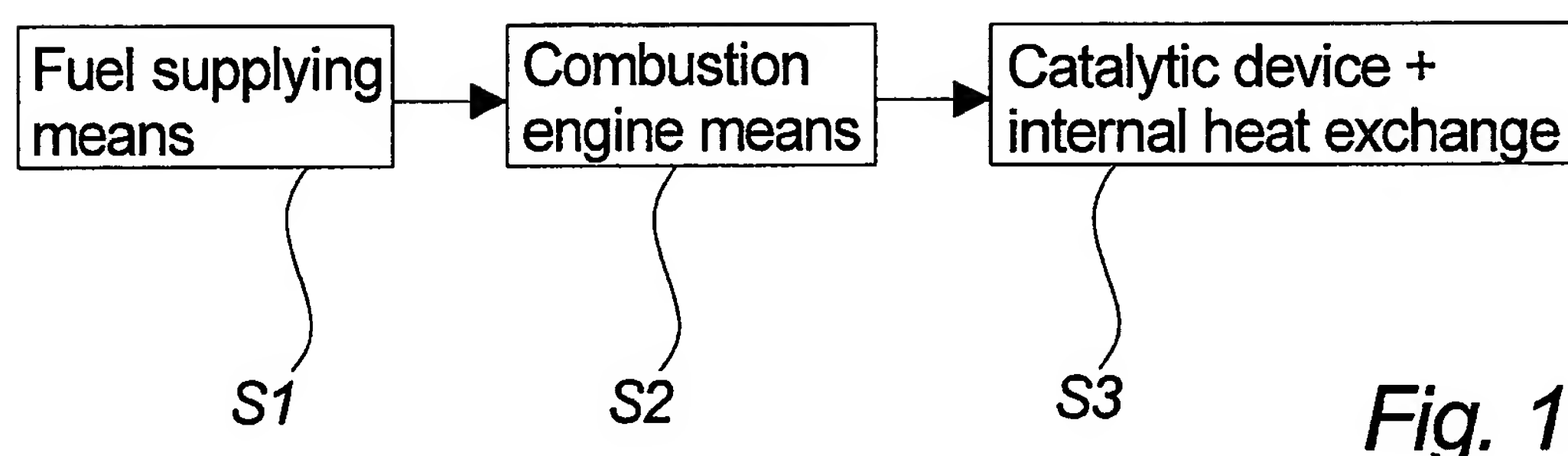


Fig. 1

2/27

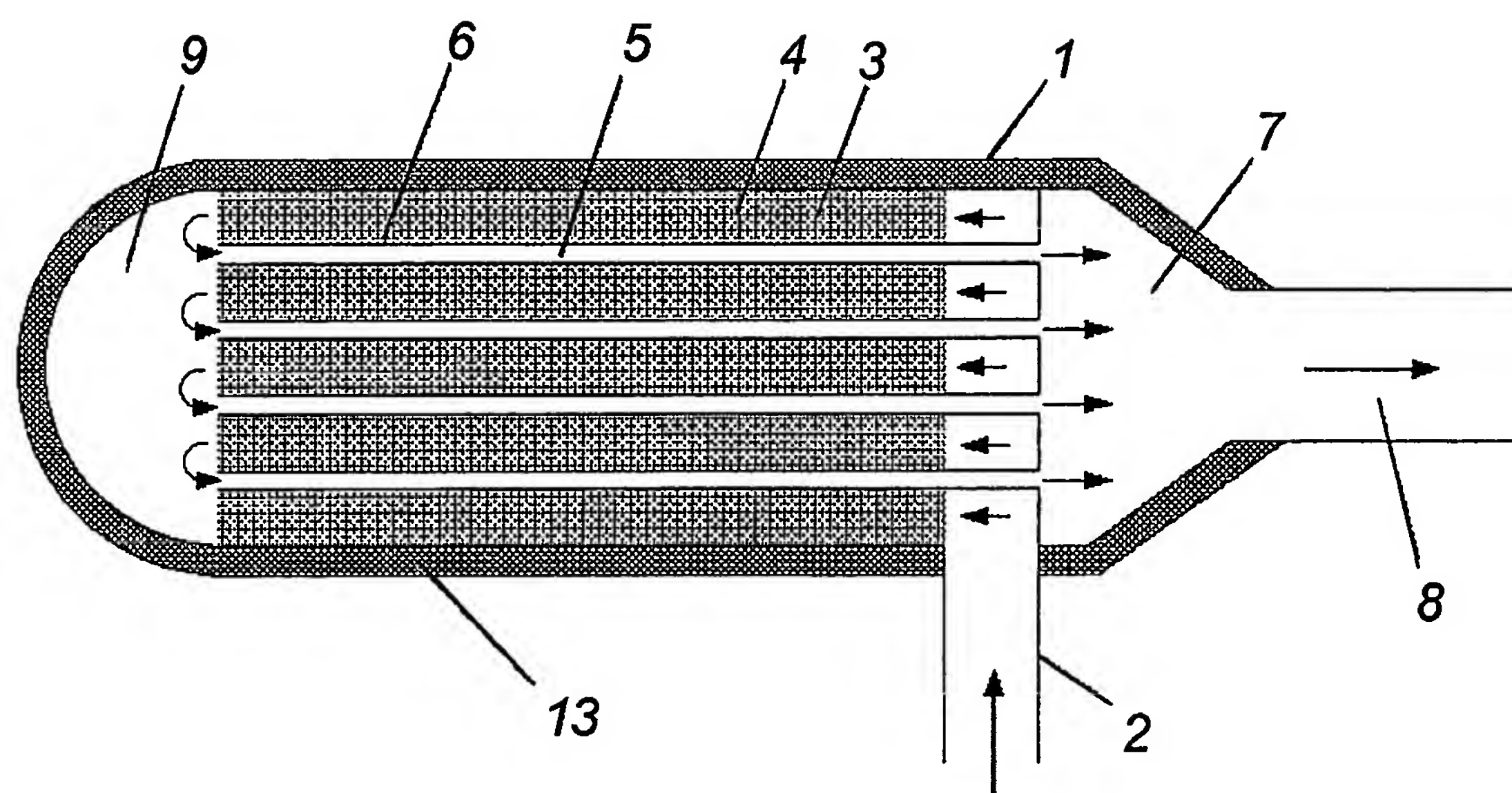


Fig. 2

3 / 27

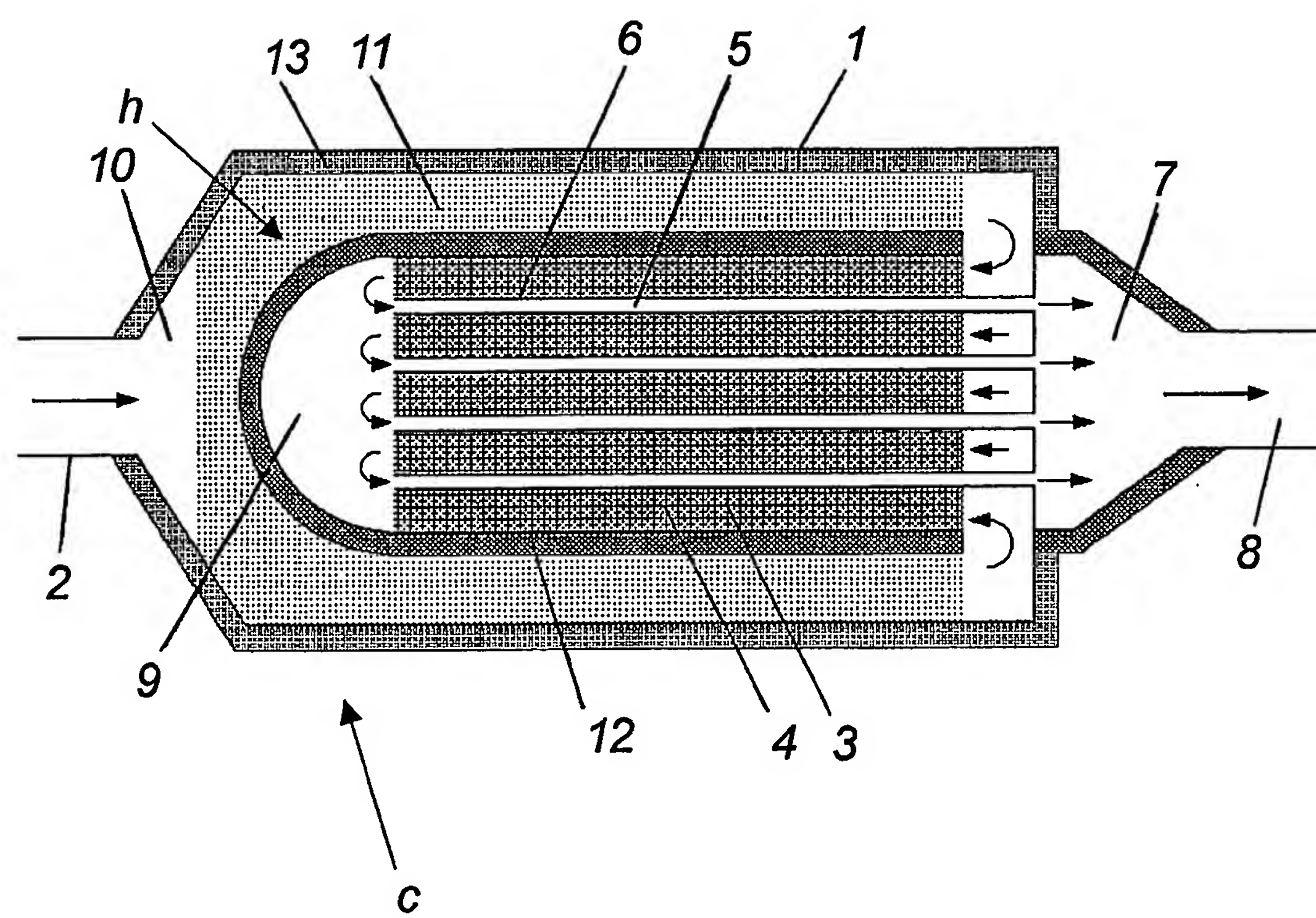


Fig. 3

4 / 27

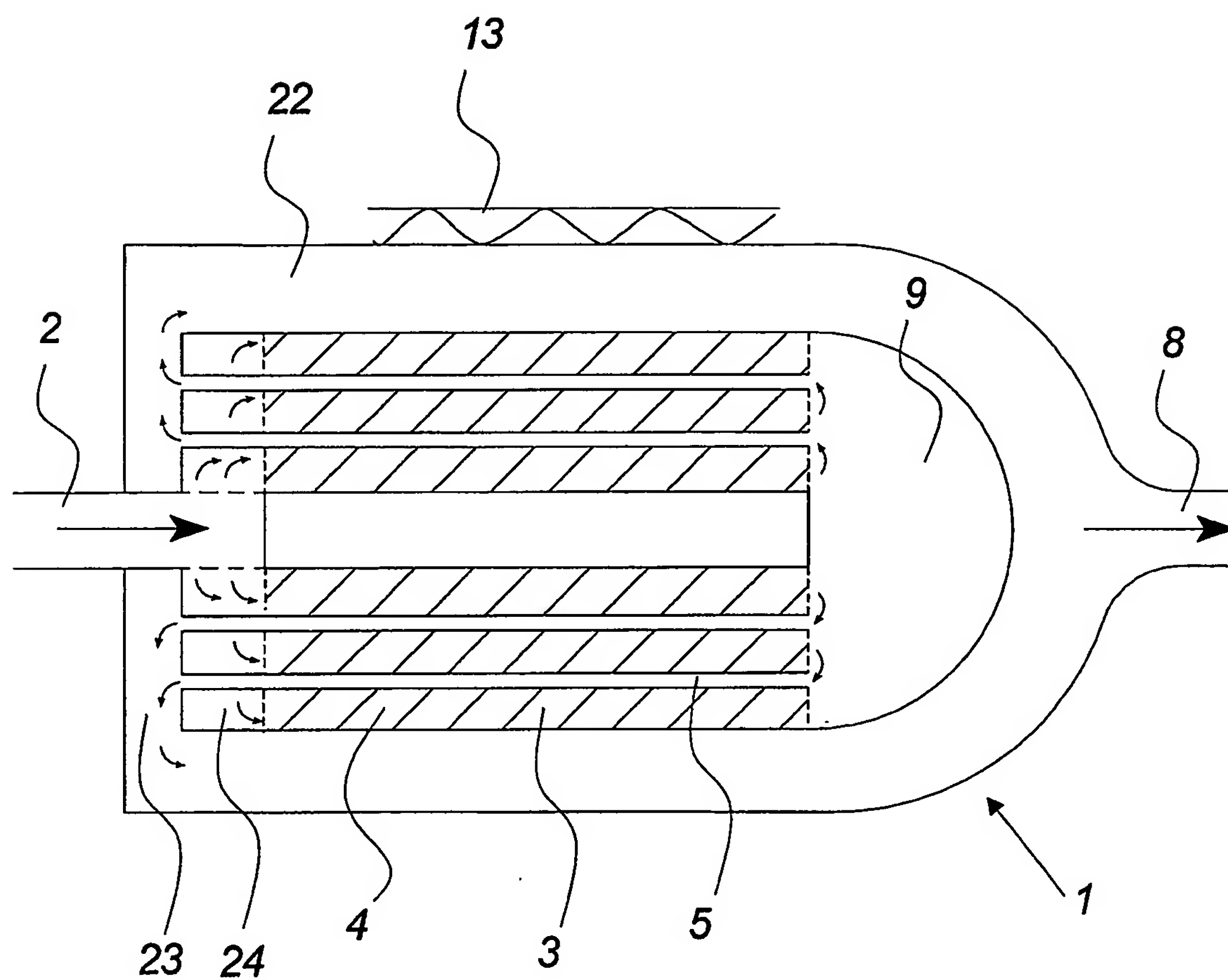


Fig. 4

5 / 27

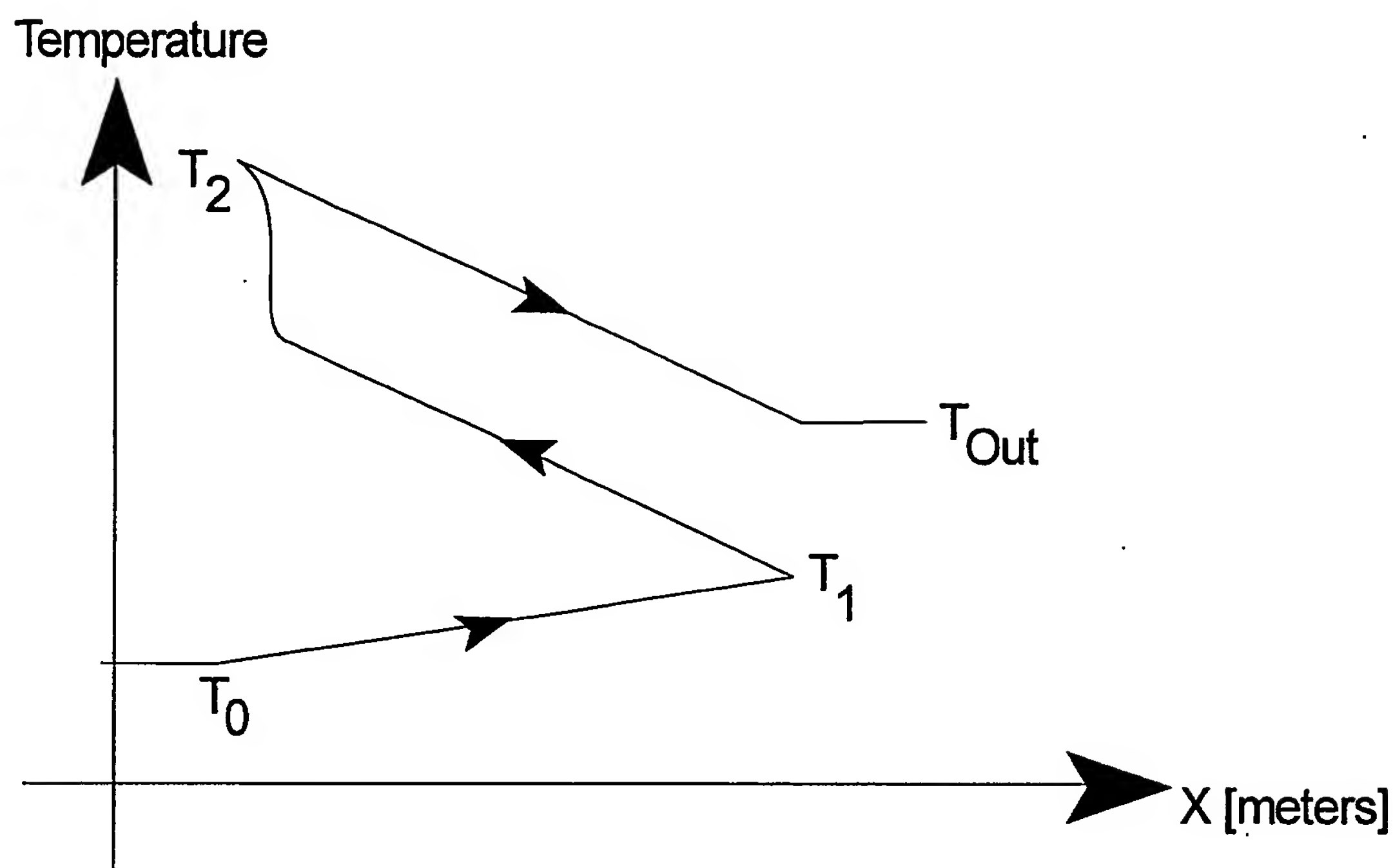


Fig. 5a

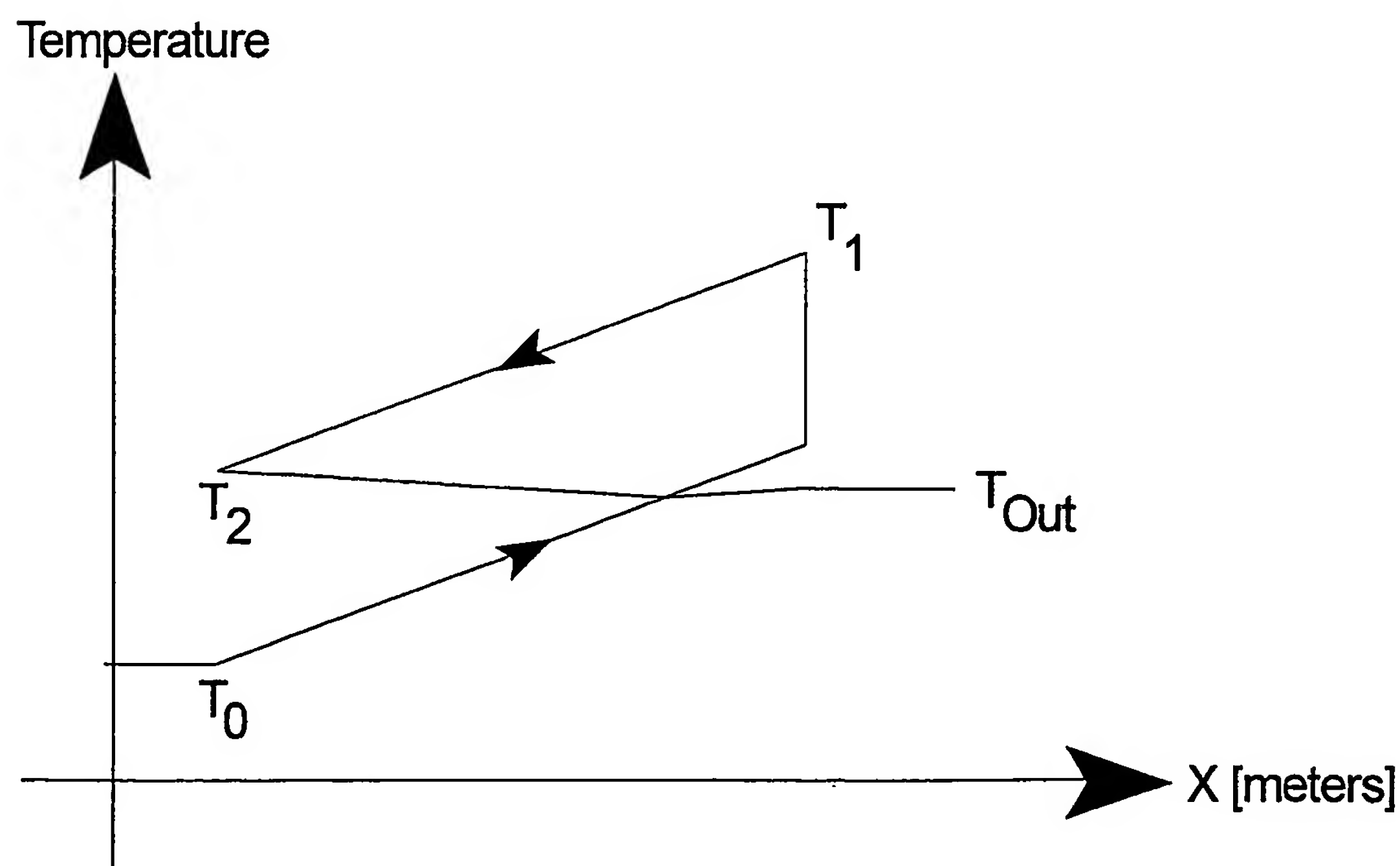


Fig. 5b

6 / 27

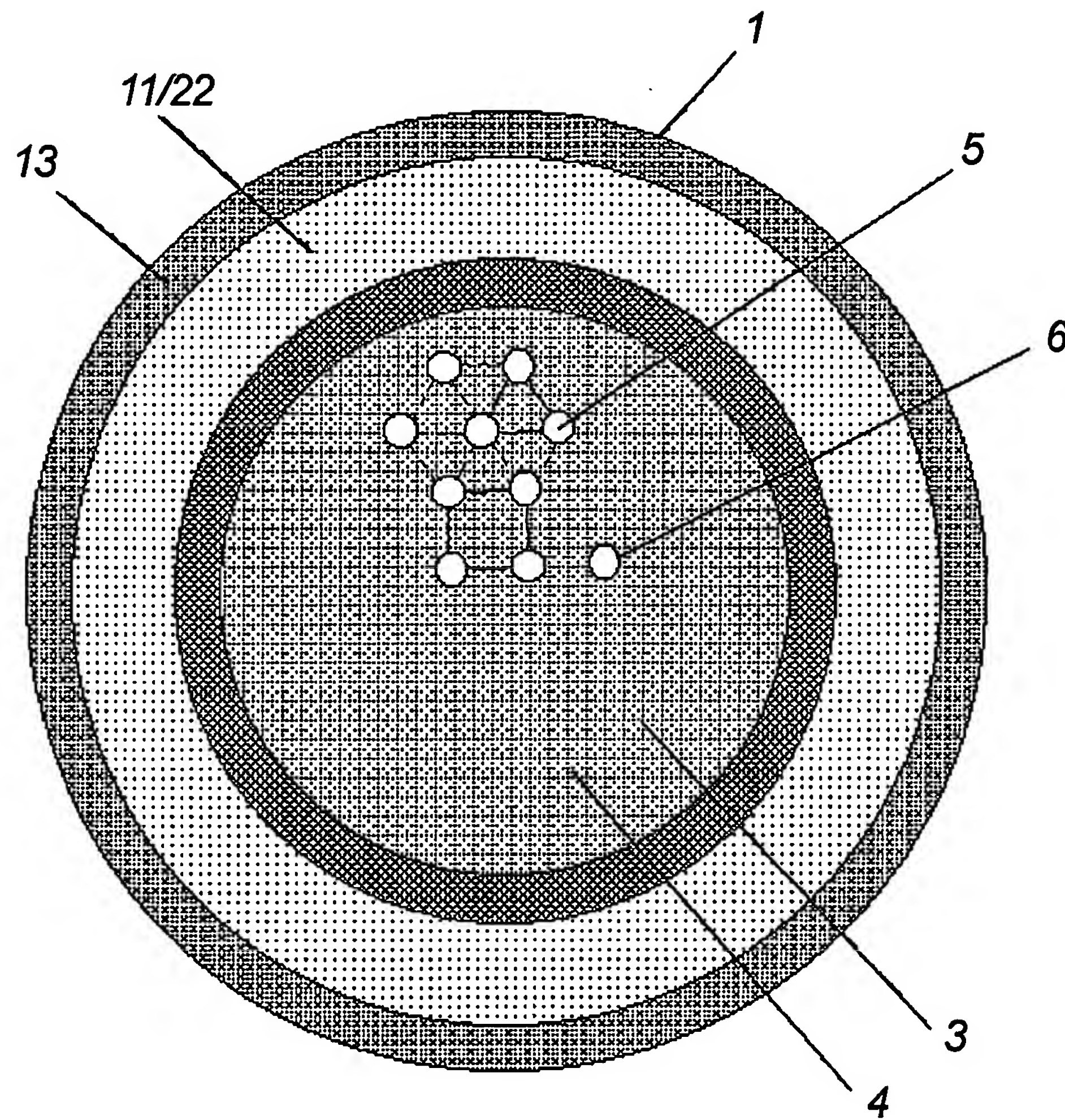


Fig. 6

7/27

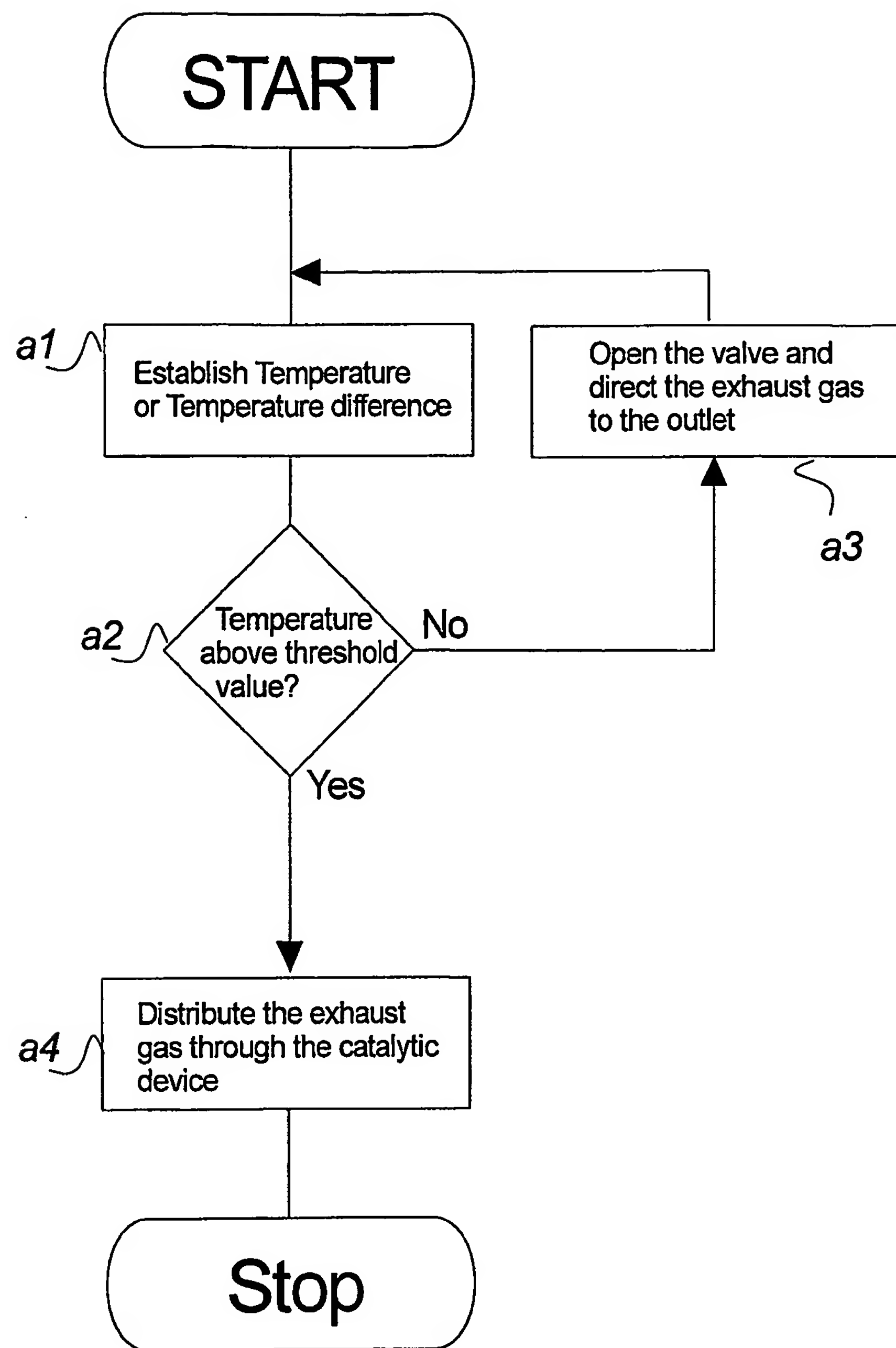


Fig. 7

8/27

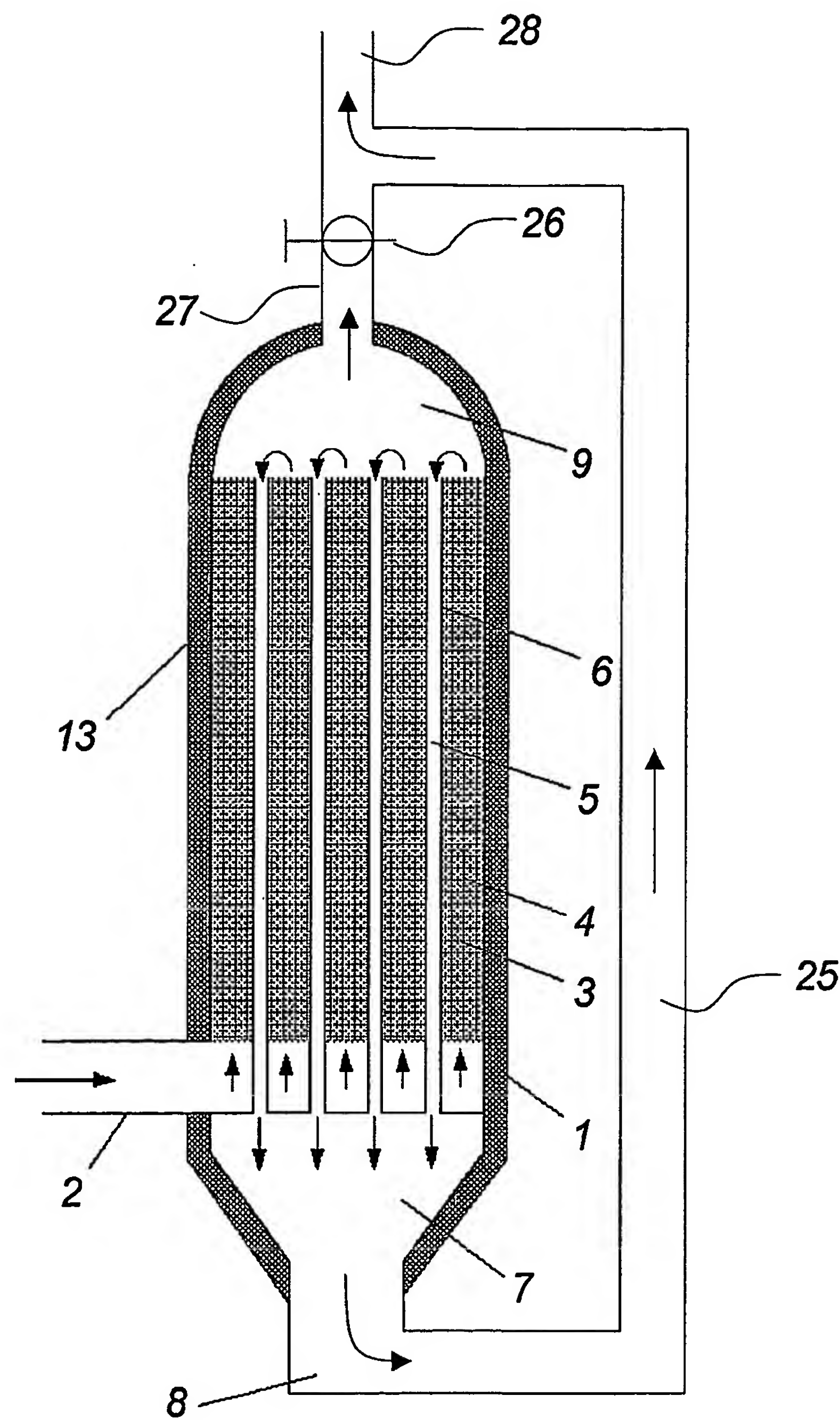


Fig. 8

9 / 27

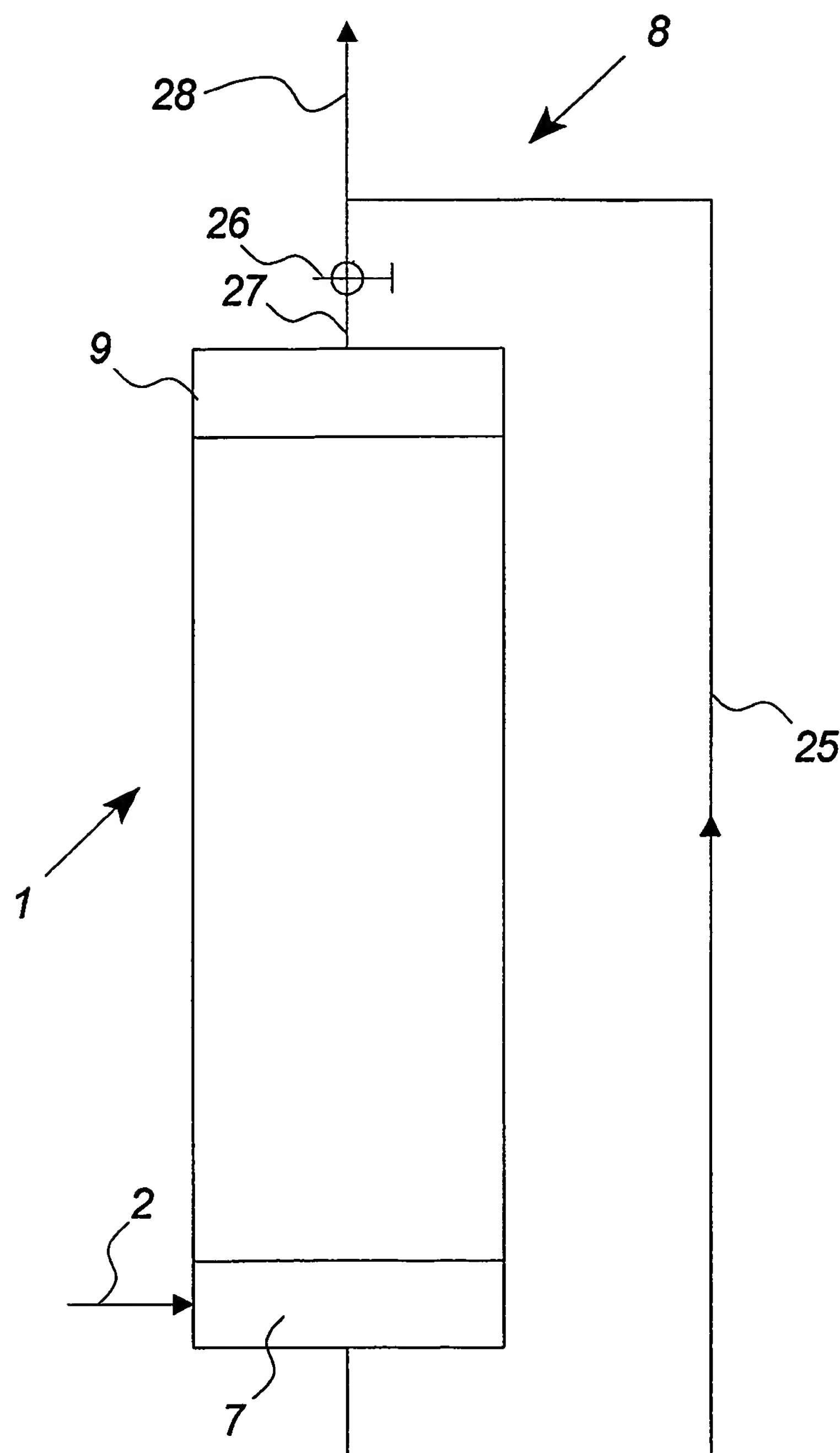


Fig. 9

10 / 27

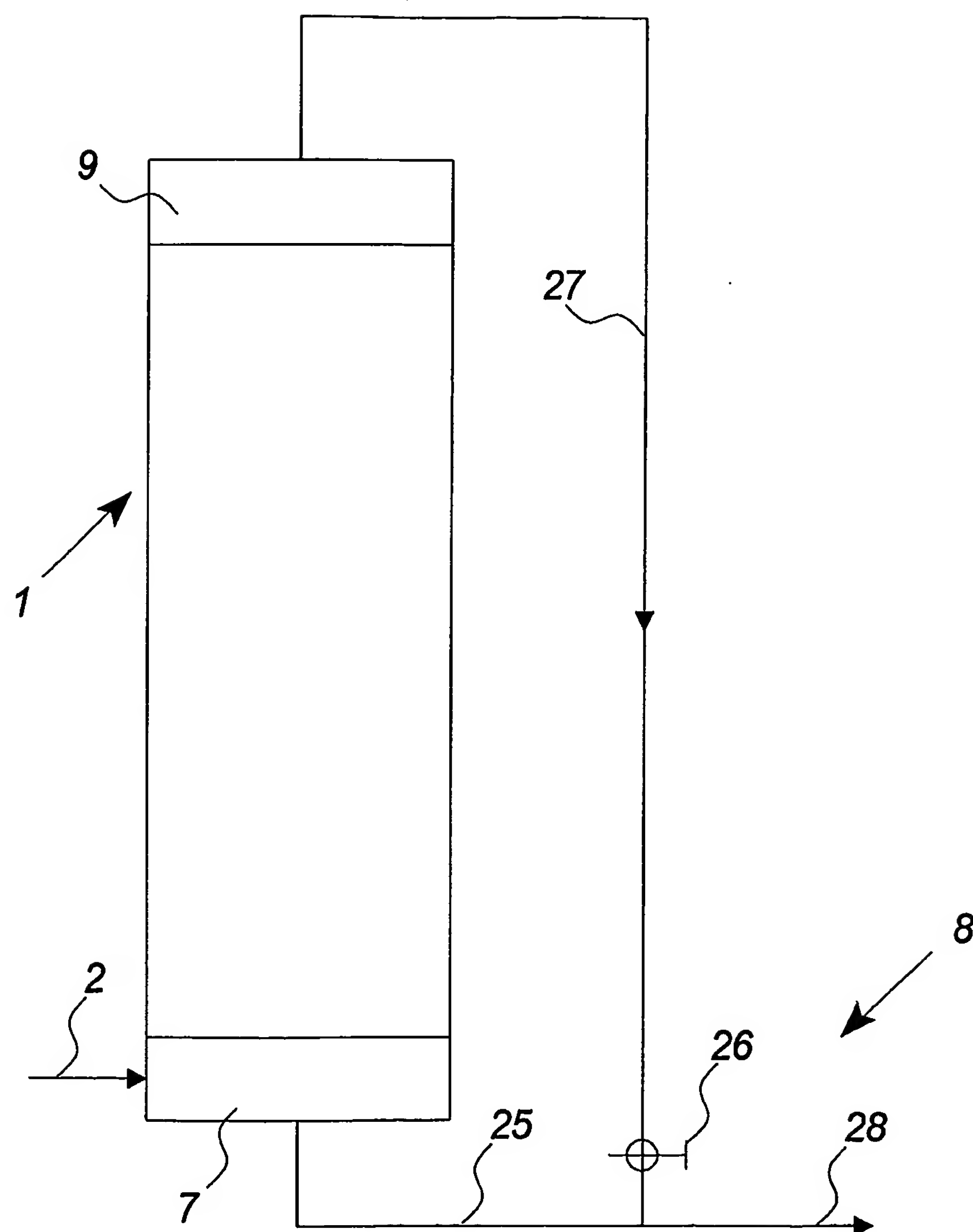


Fig. 10

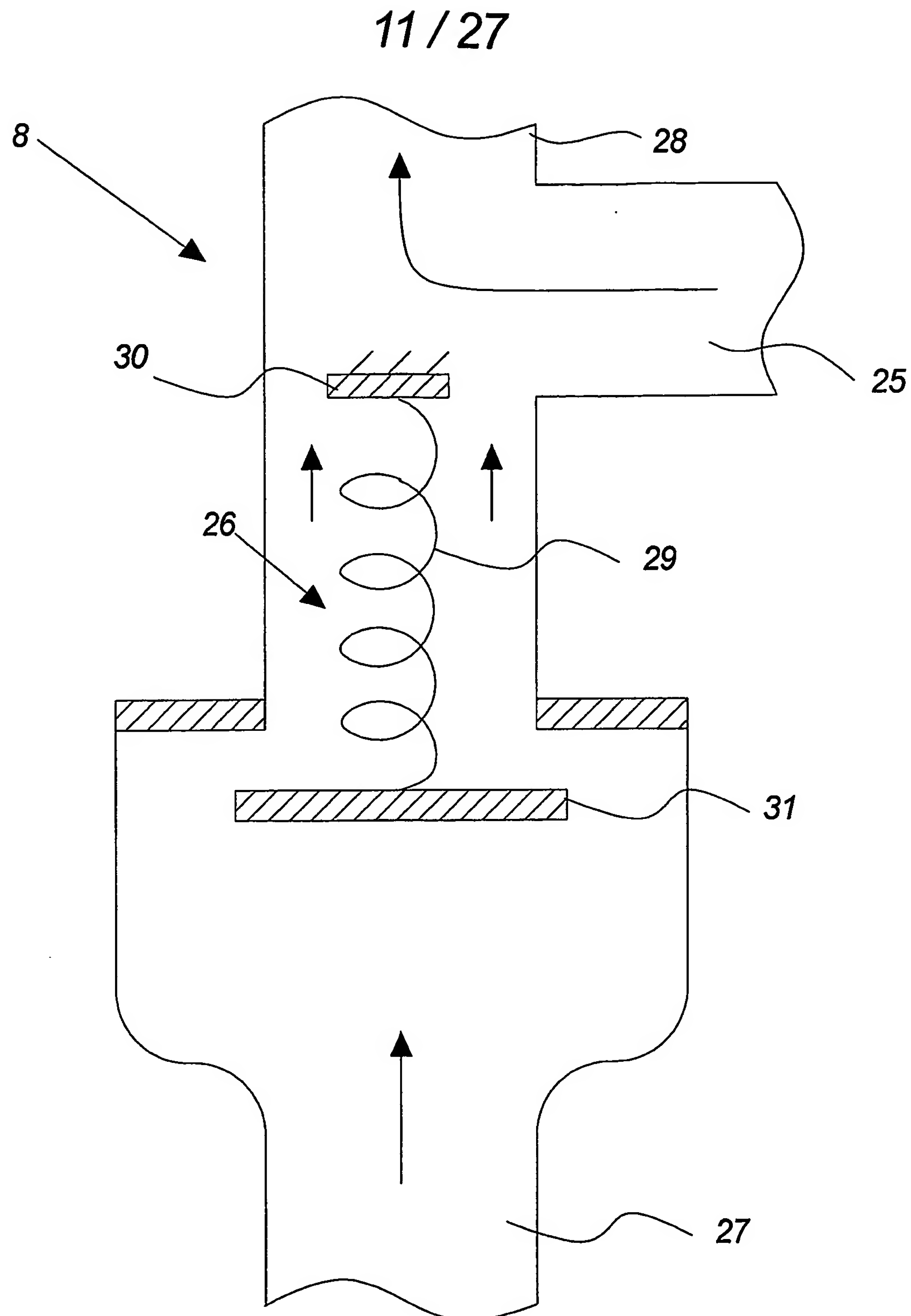


Fig. 11

12 / 27

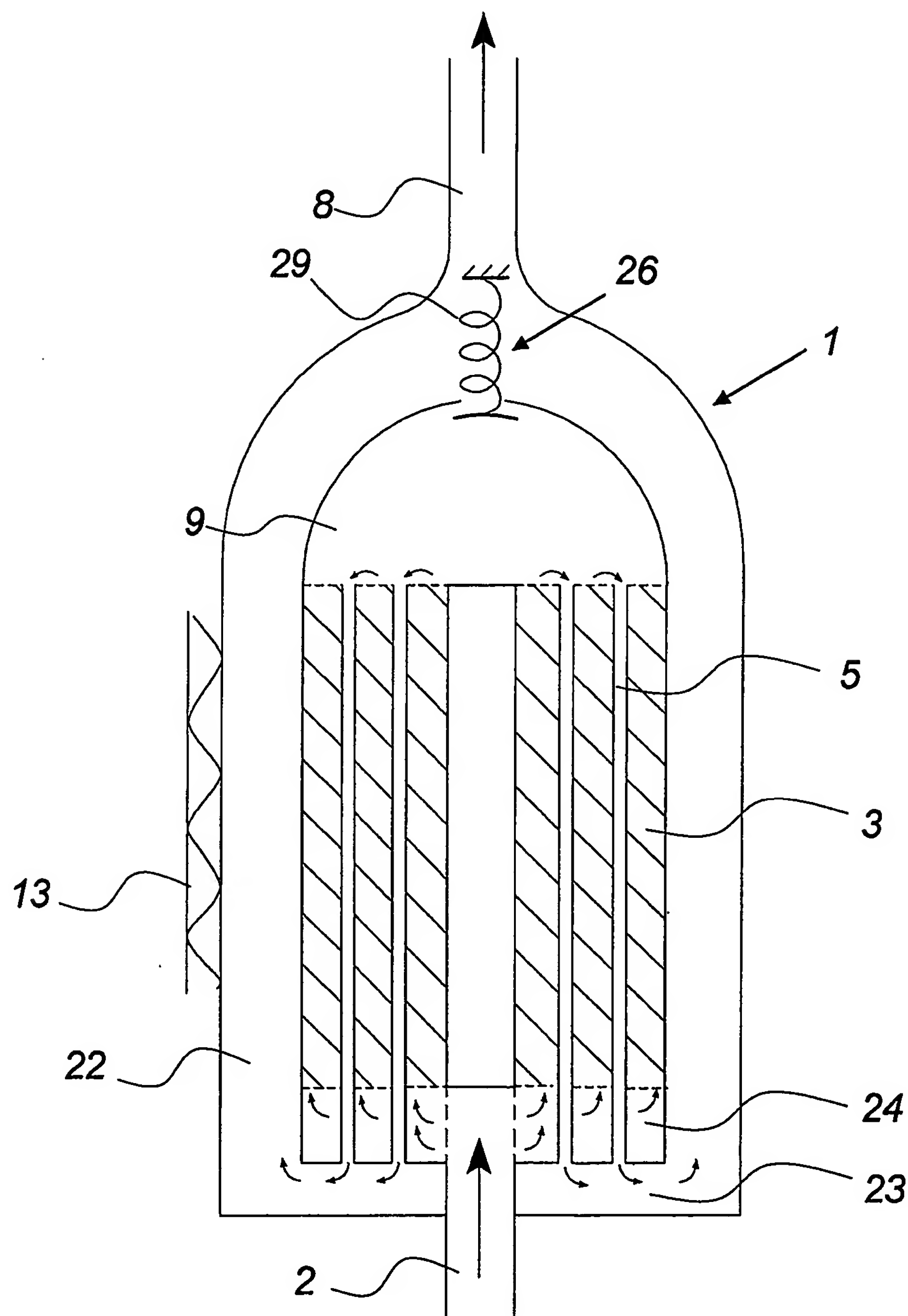


Fig. 12

13 / 27

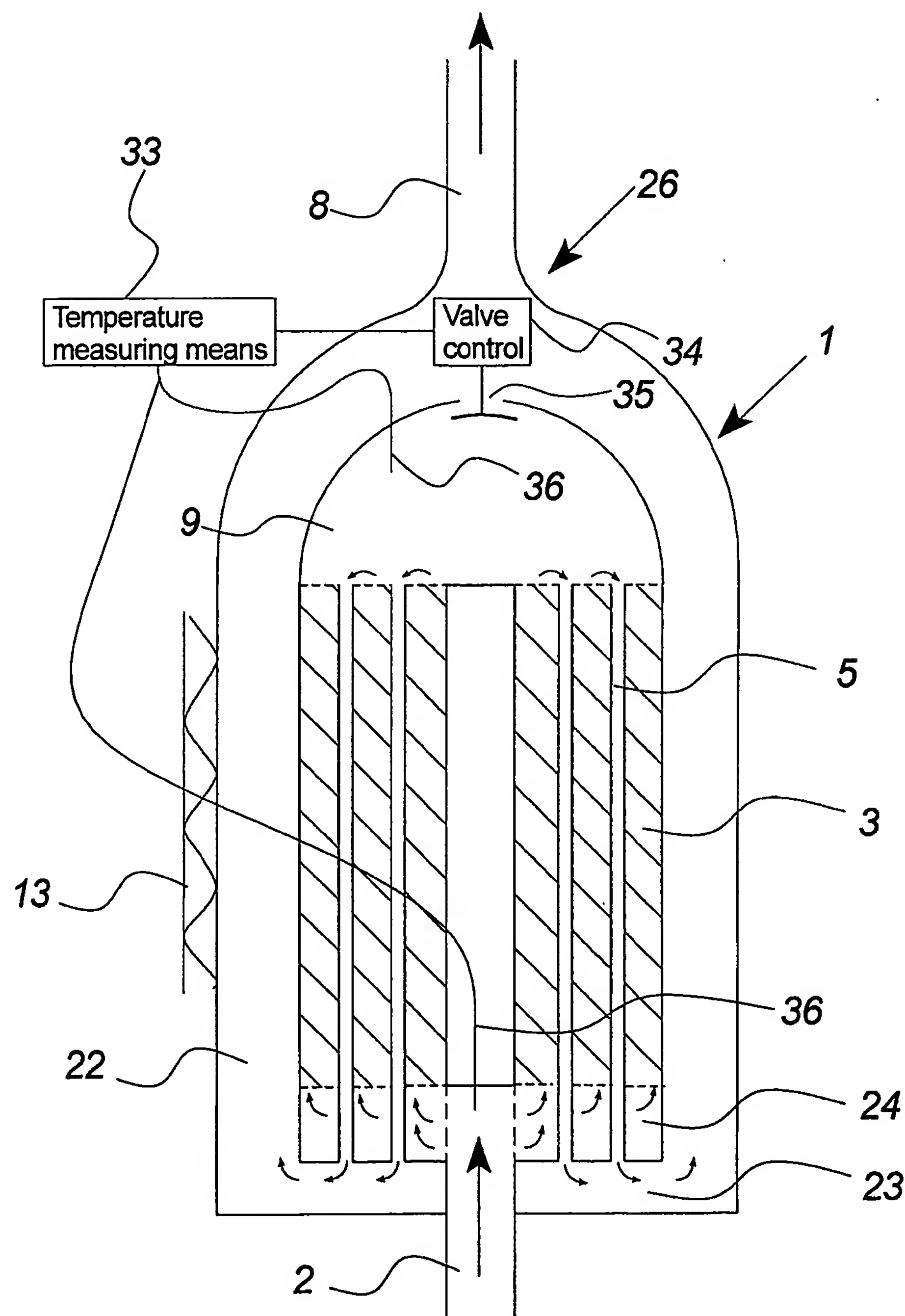


Fig. 13

14 / 27

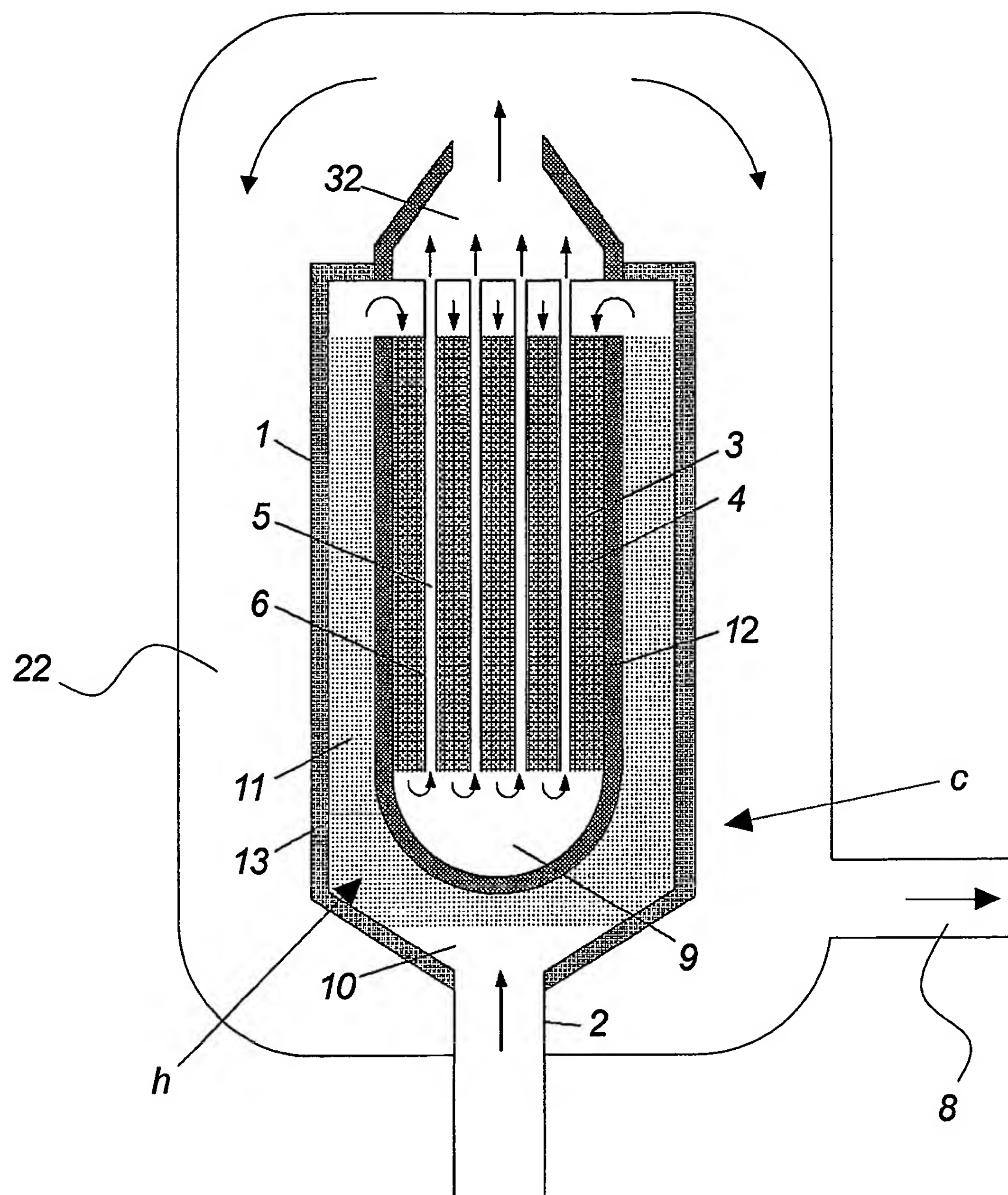


Fig. 14

15 / 27

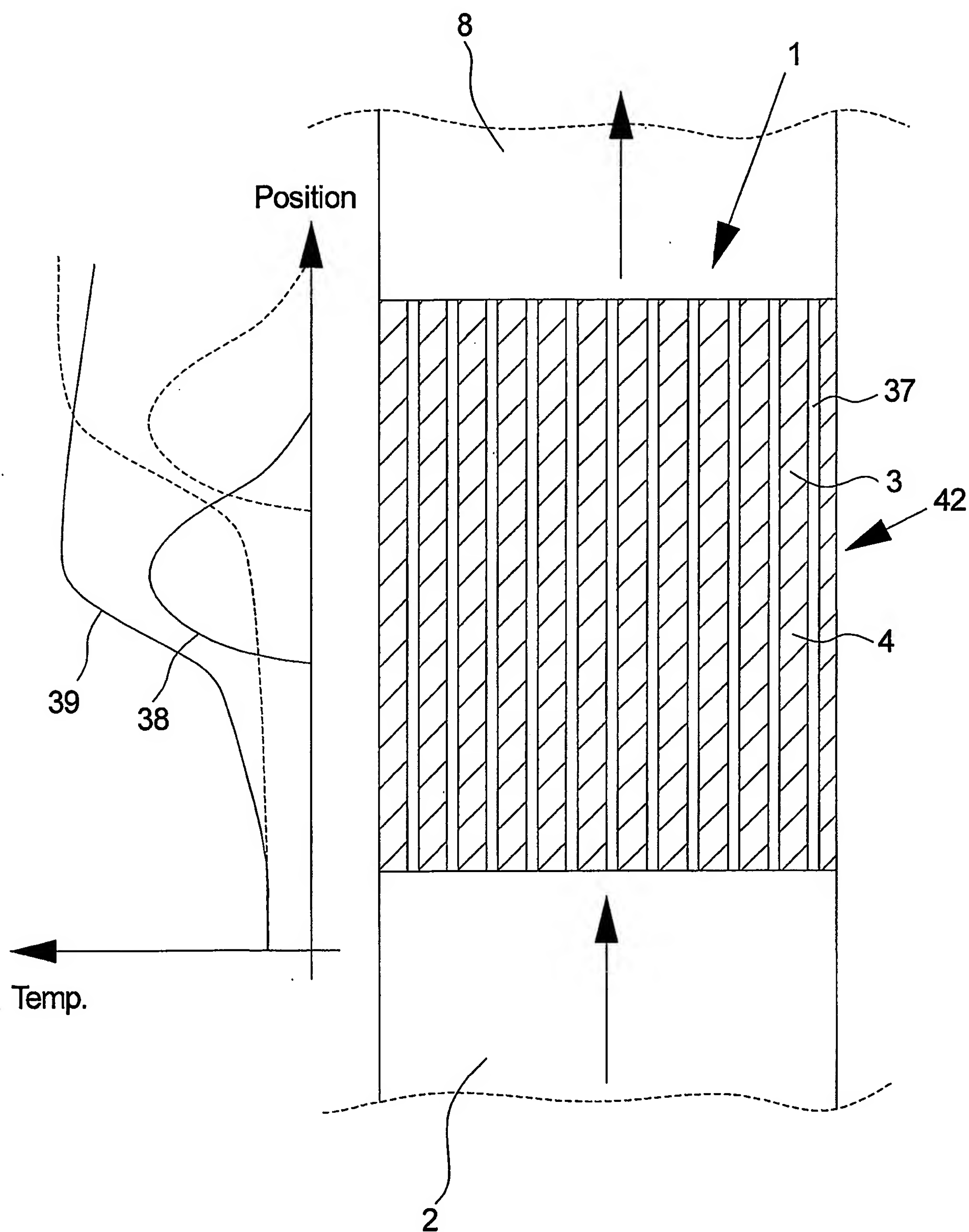


Fig. 15

16 / 27

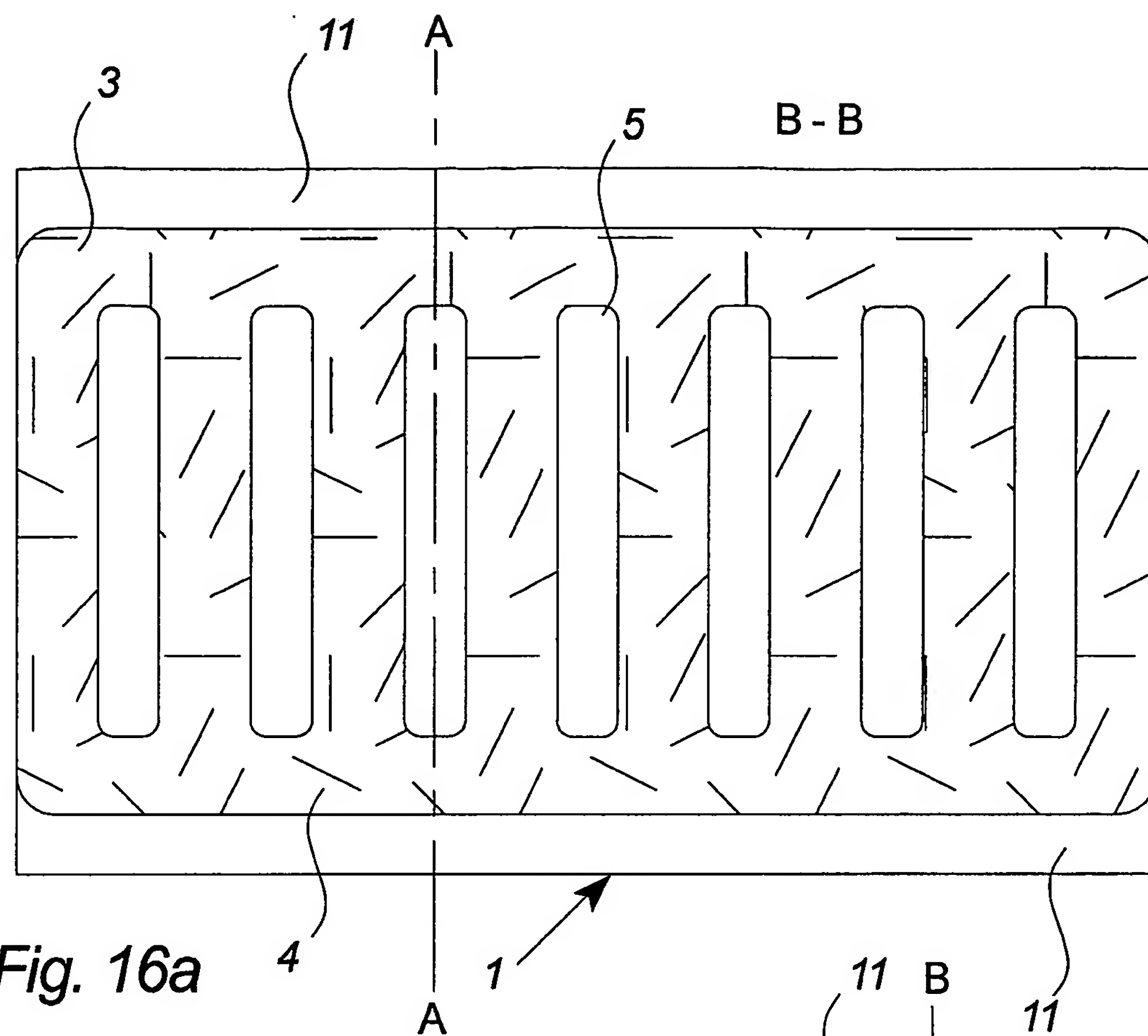


Fig. 16a

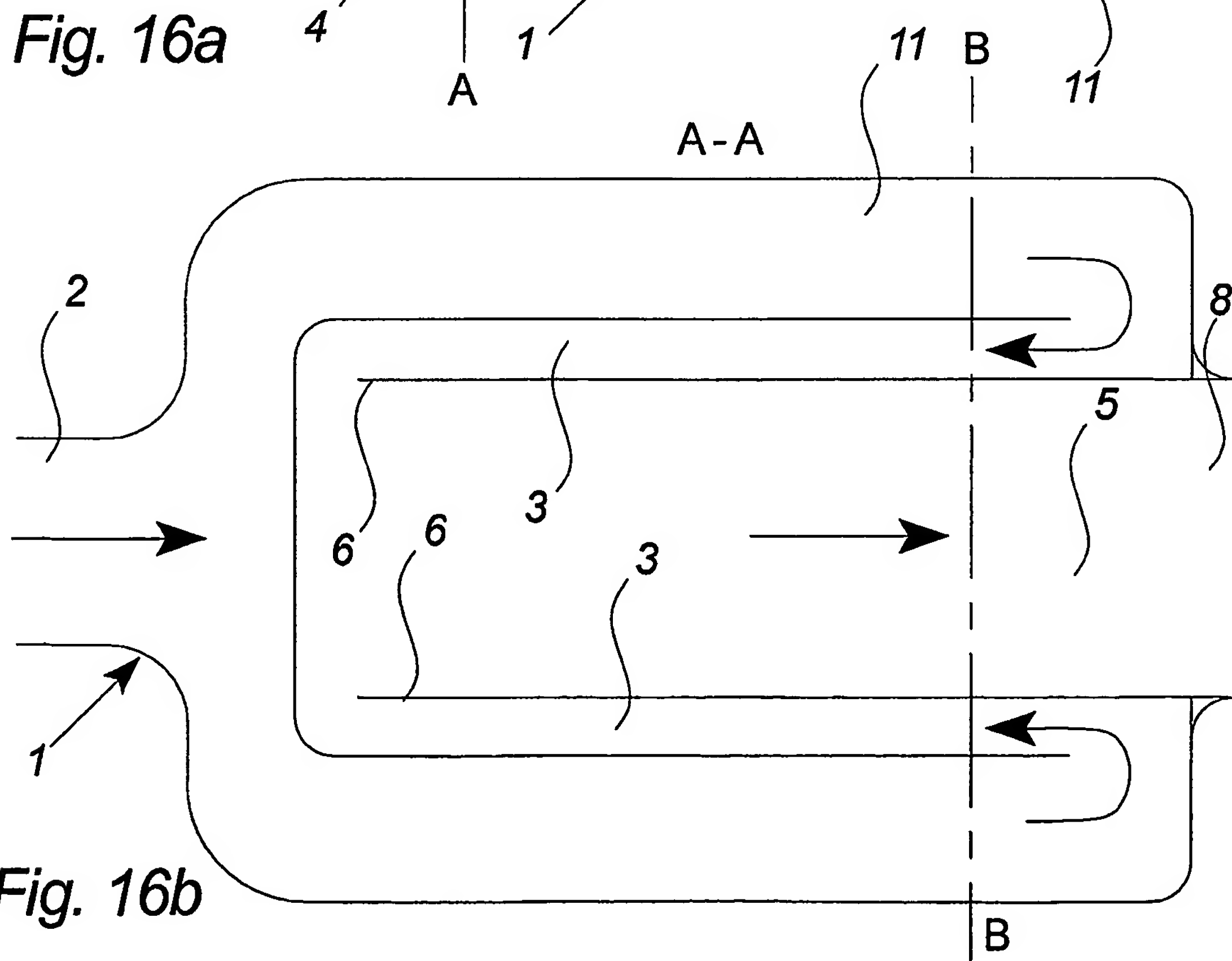
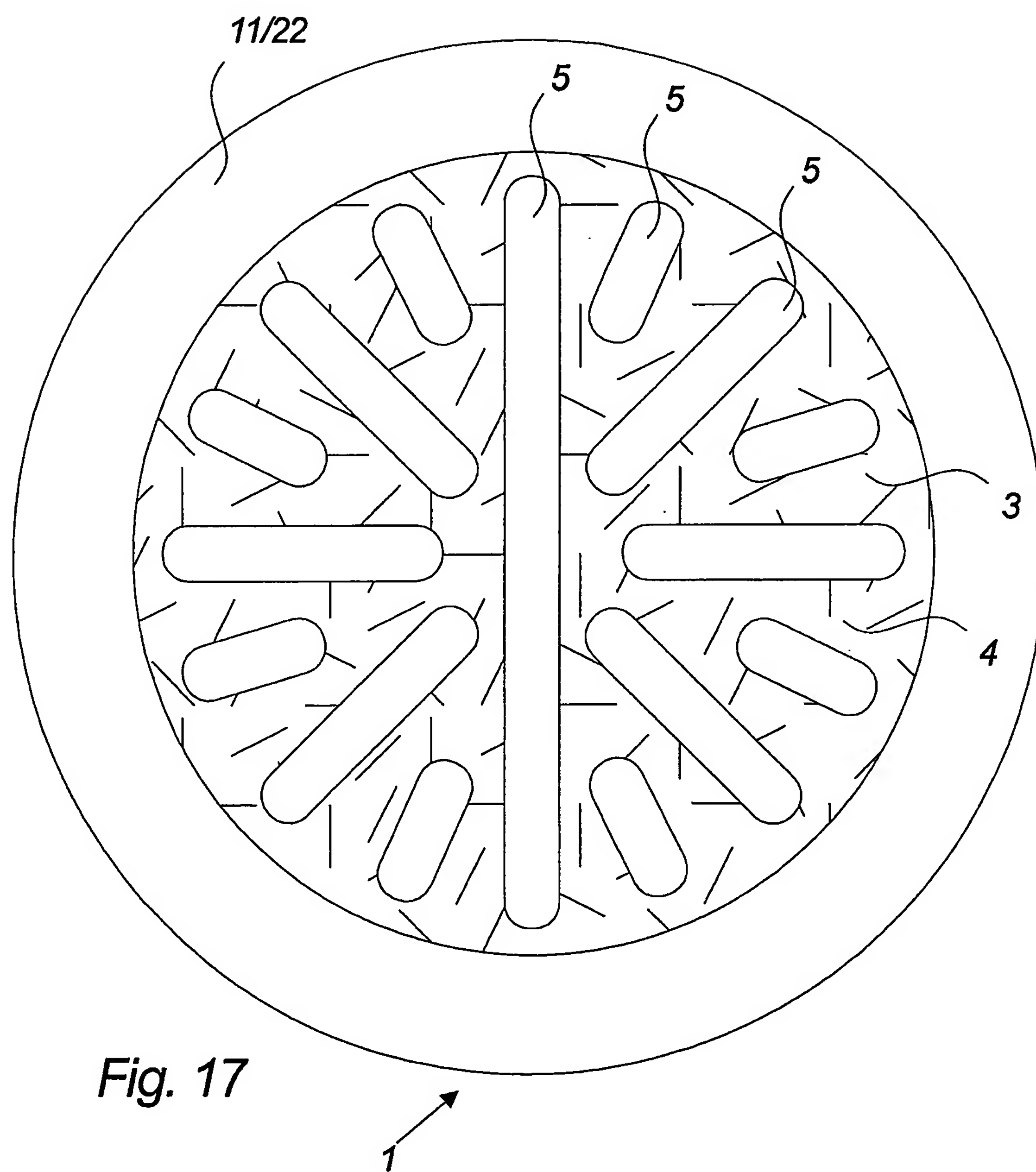


Fig. 16b

17 / 27



18 / 27

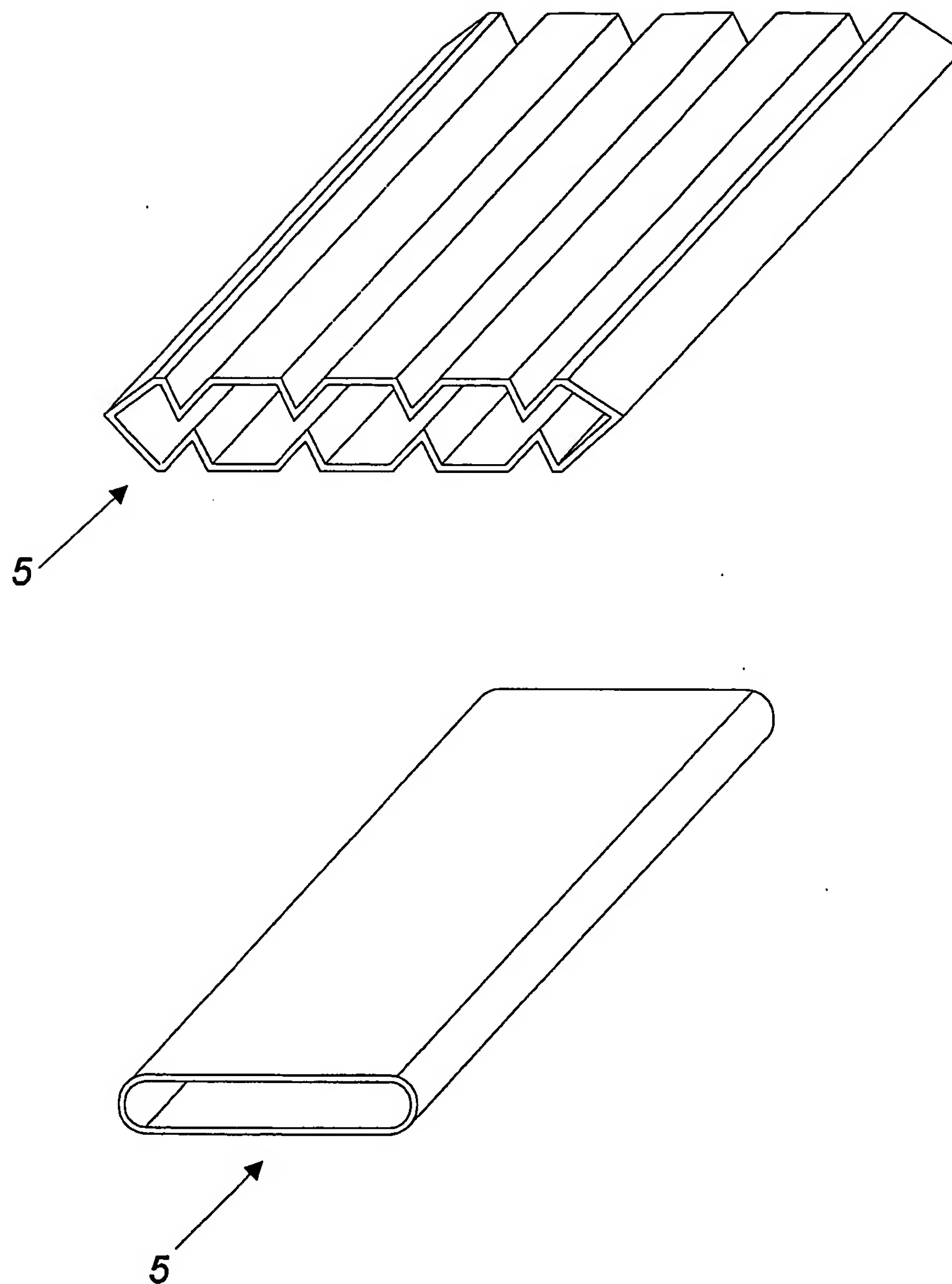


Fig. 18

19 / 27

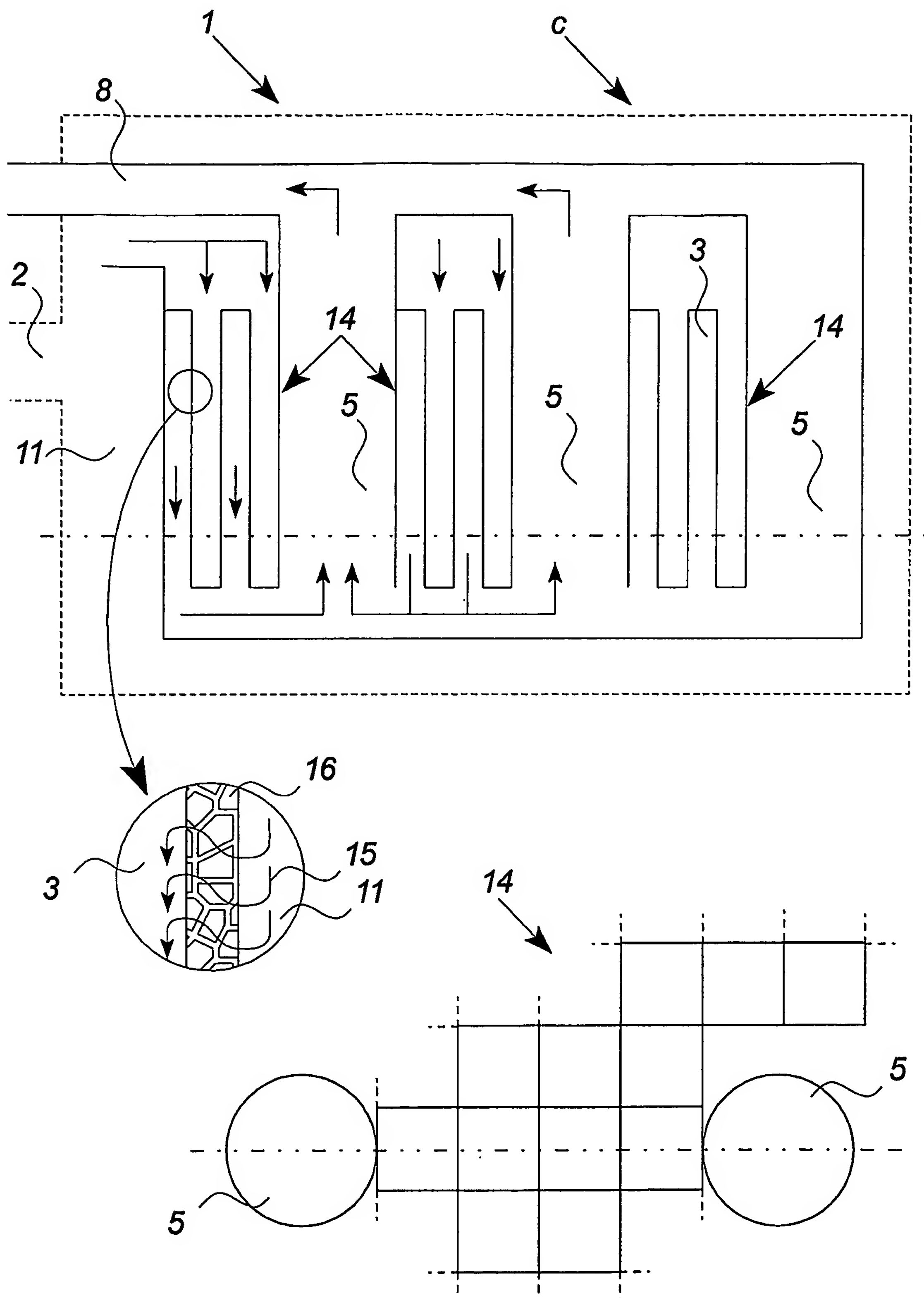


Fig. 19

20 / 27

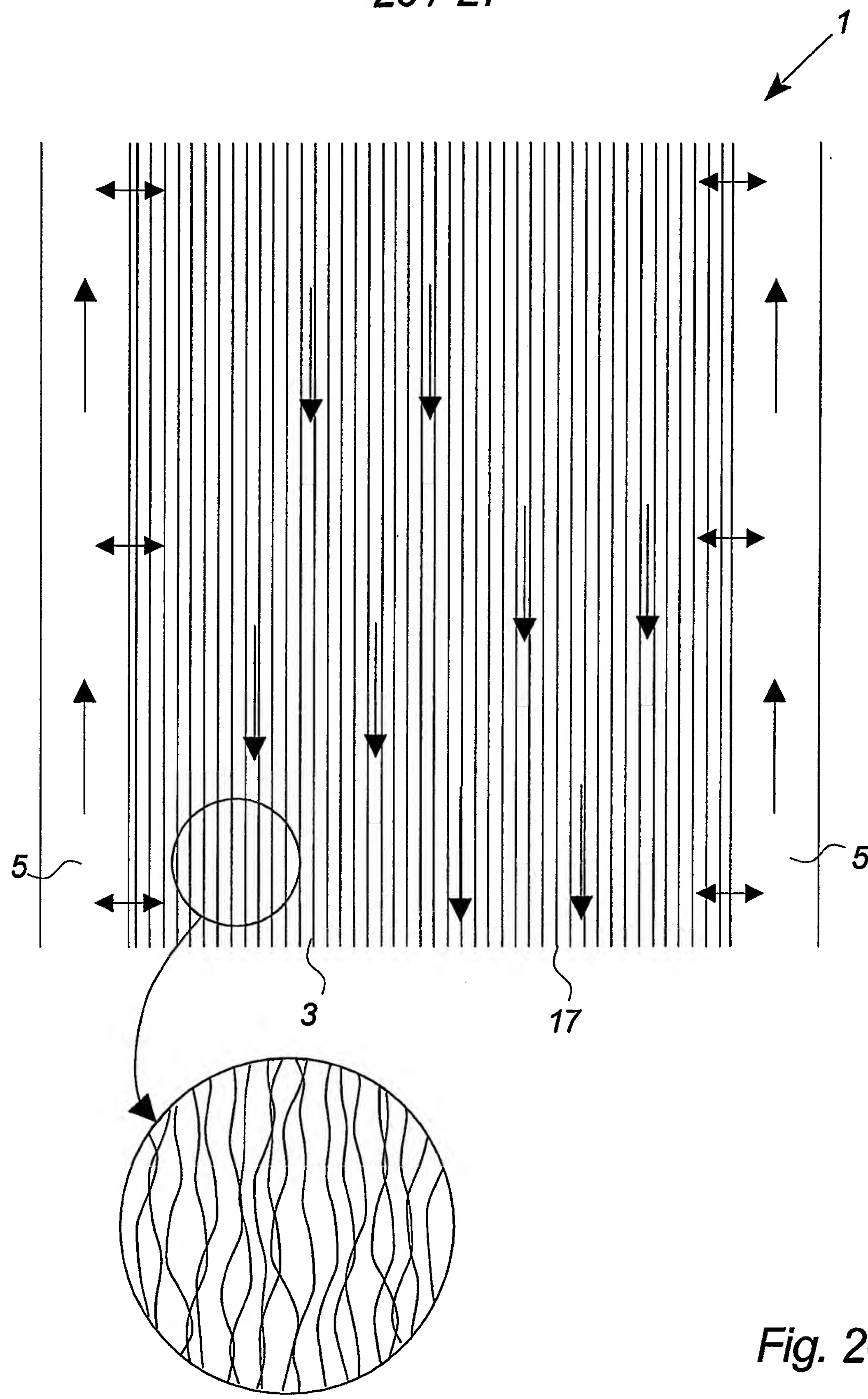


Fig. 20

21 / 27

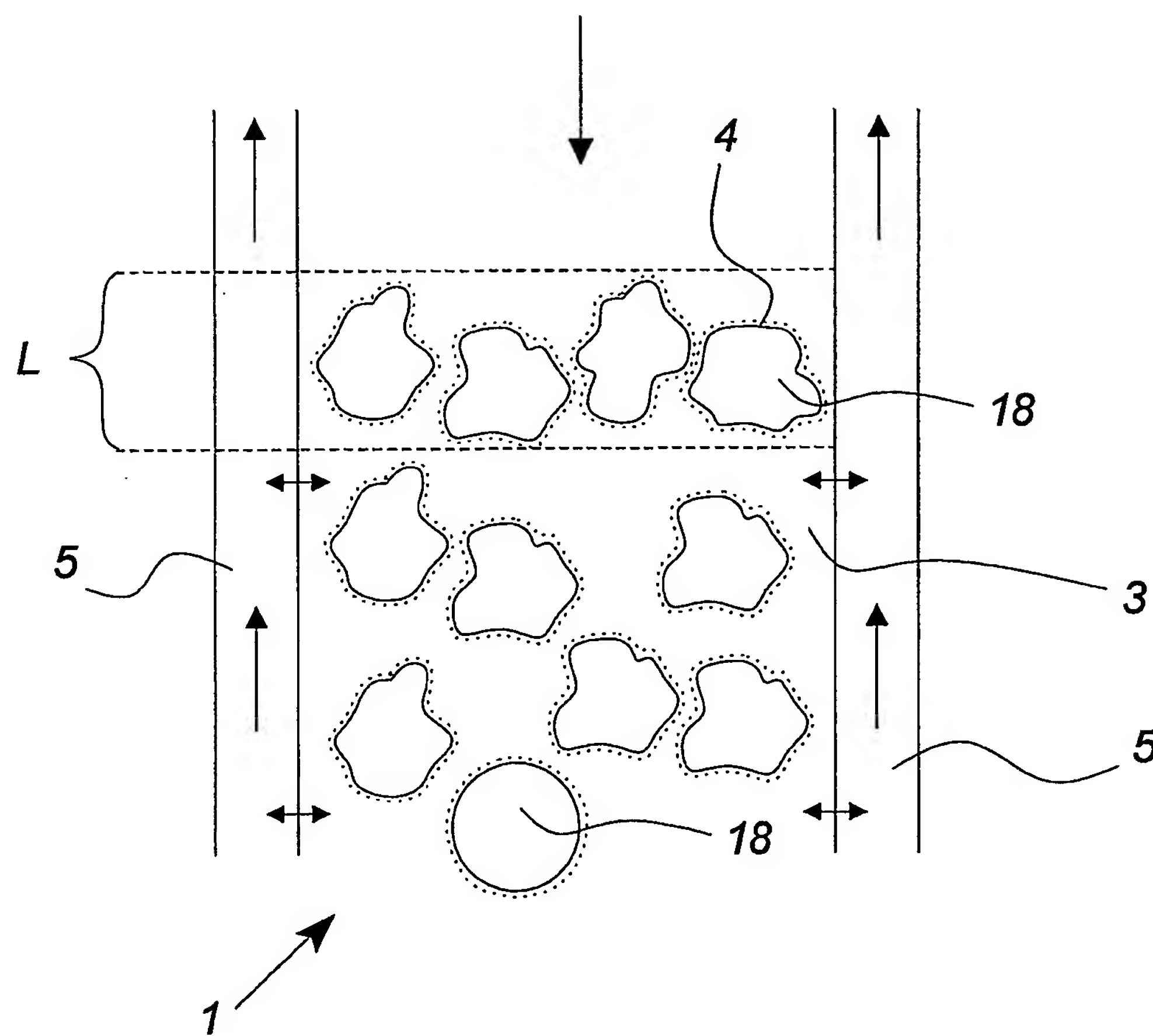


Fig. 21

22 / 27

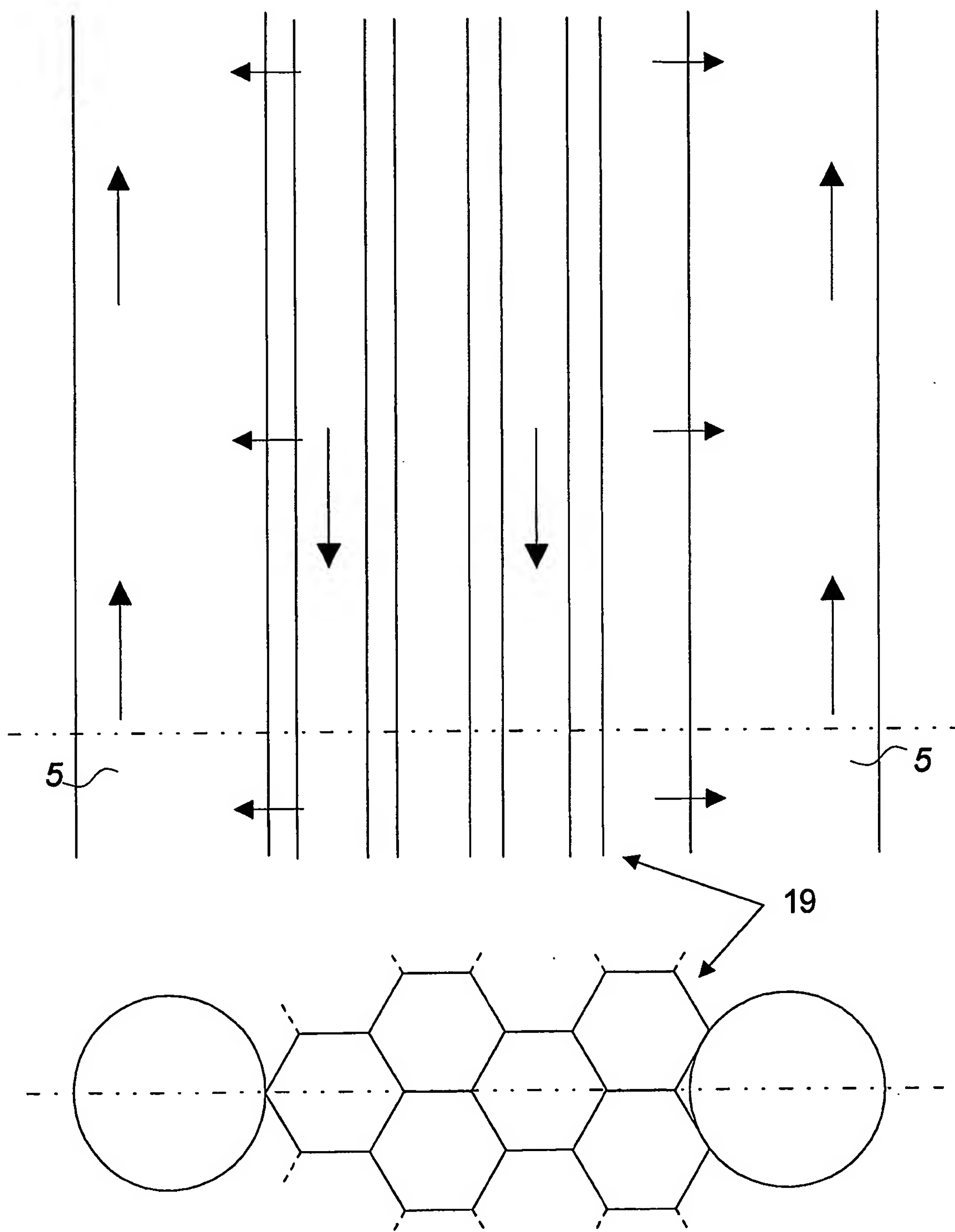


Fig. 22

23 / 27

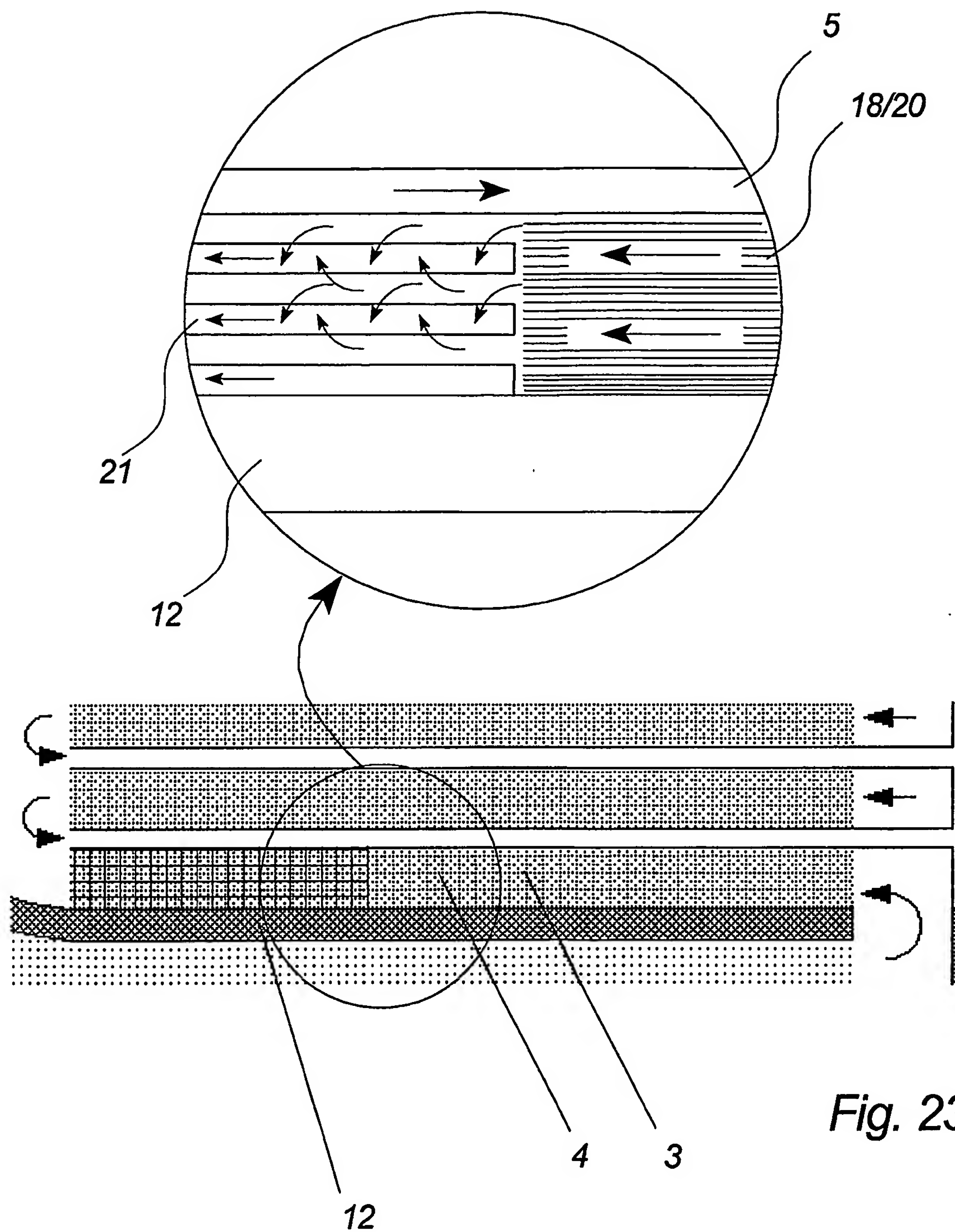


Fig. 23

24 / 27

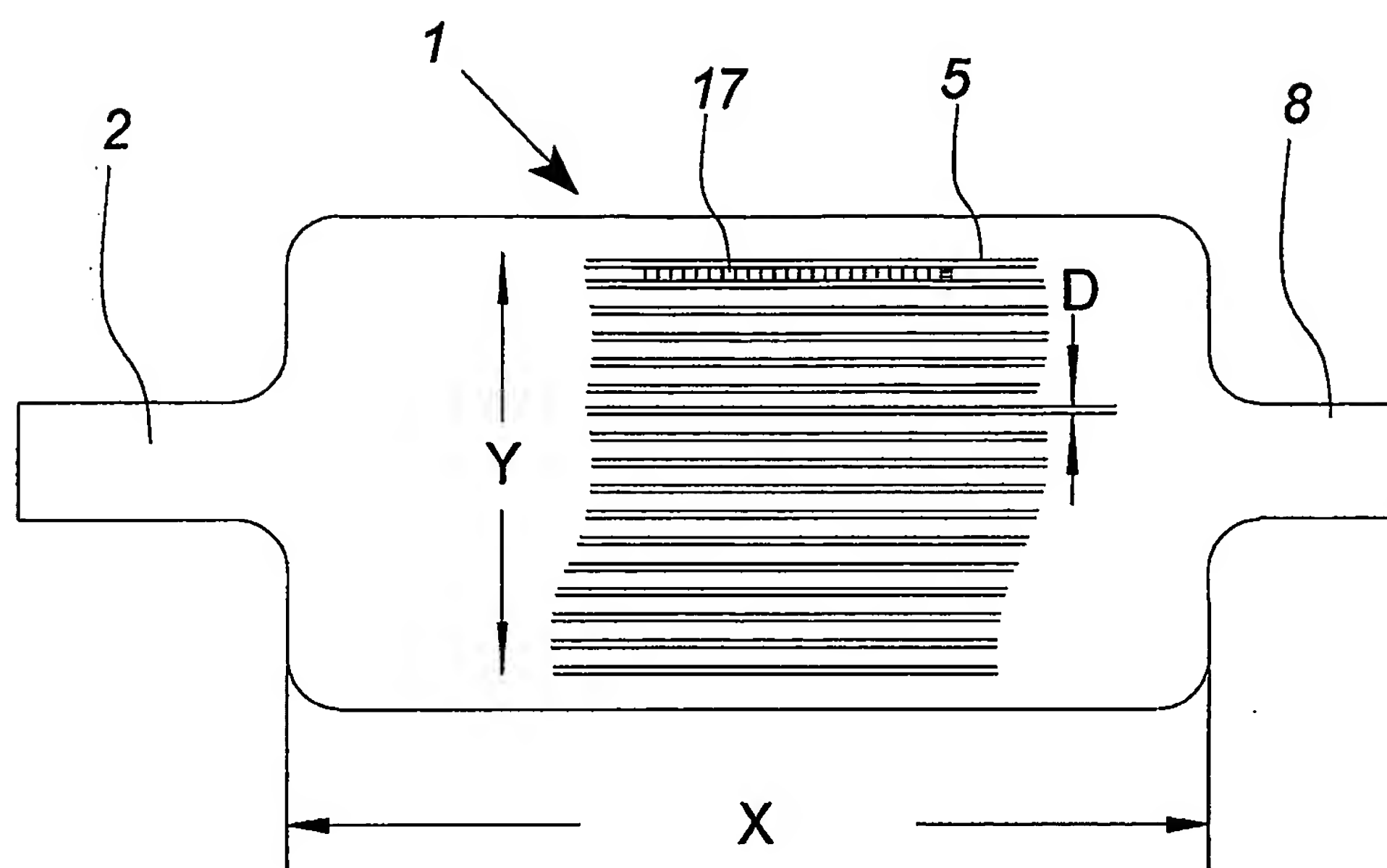


Fig. 24

25 / 27

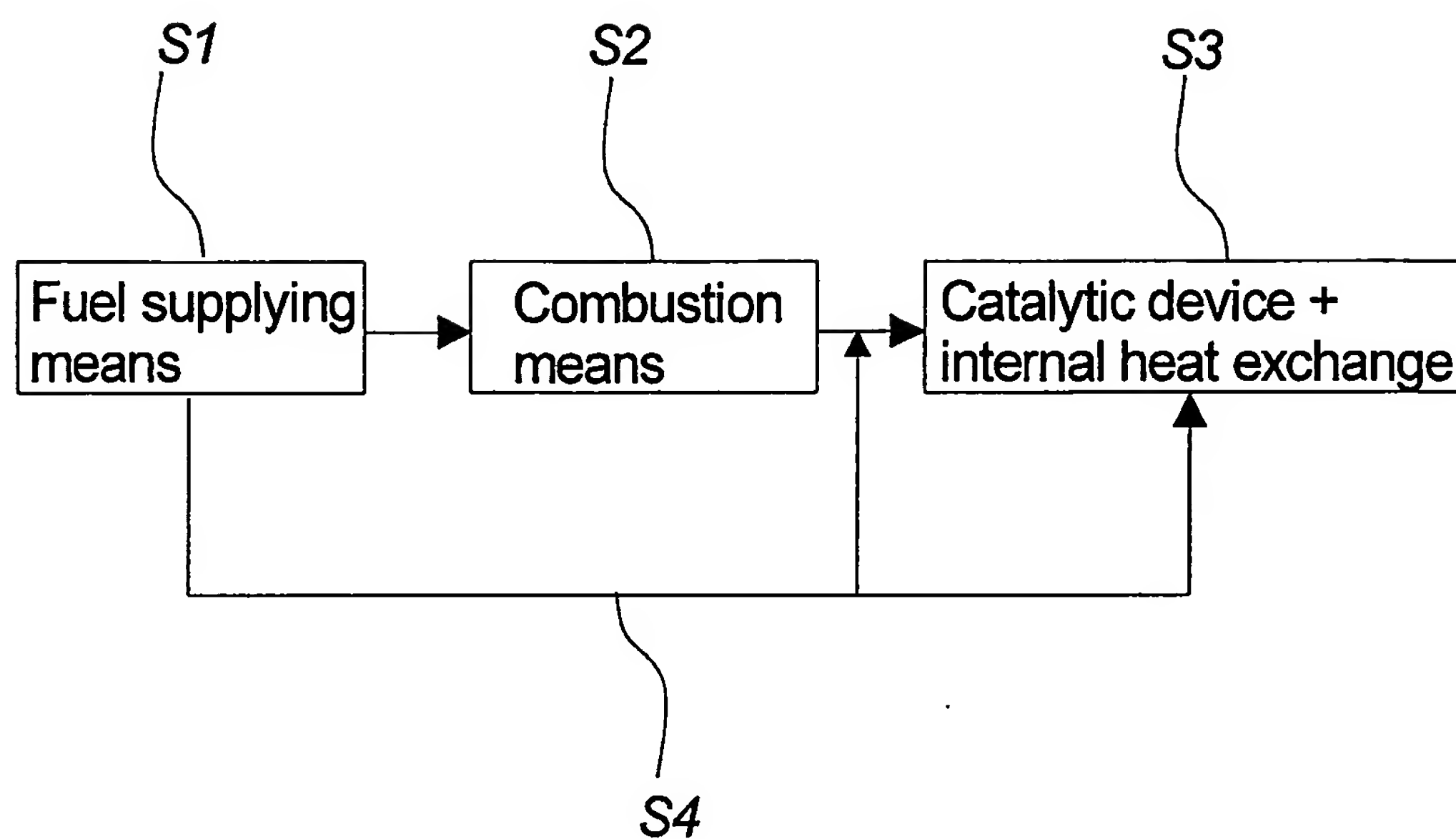


Fig. 25

26 / 27

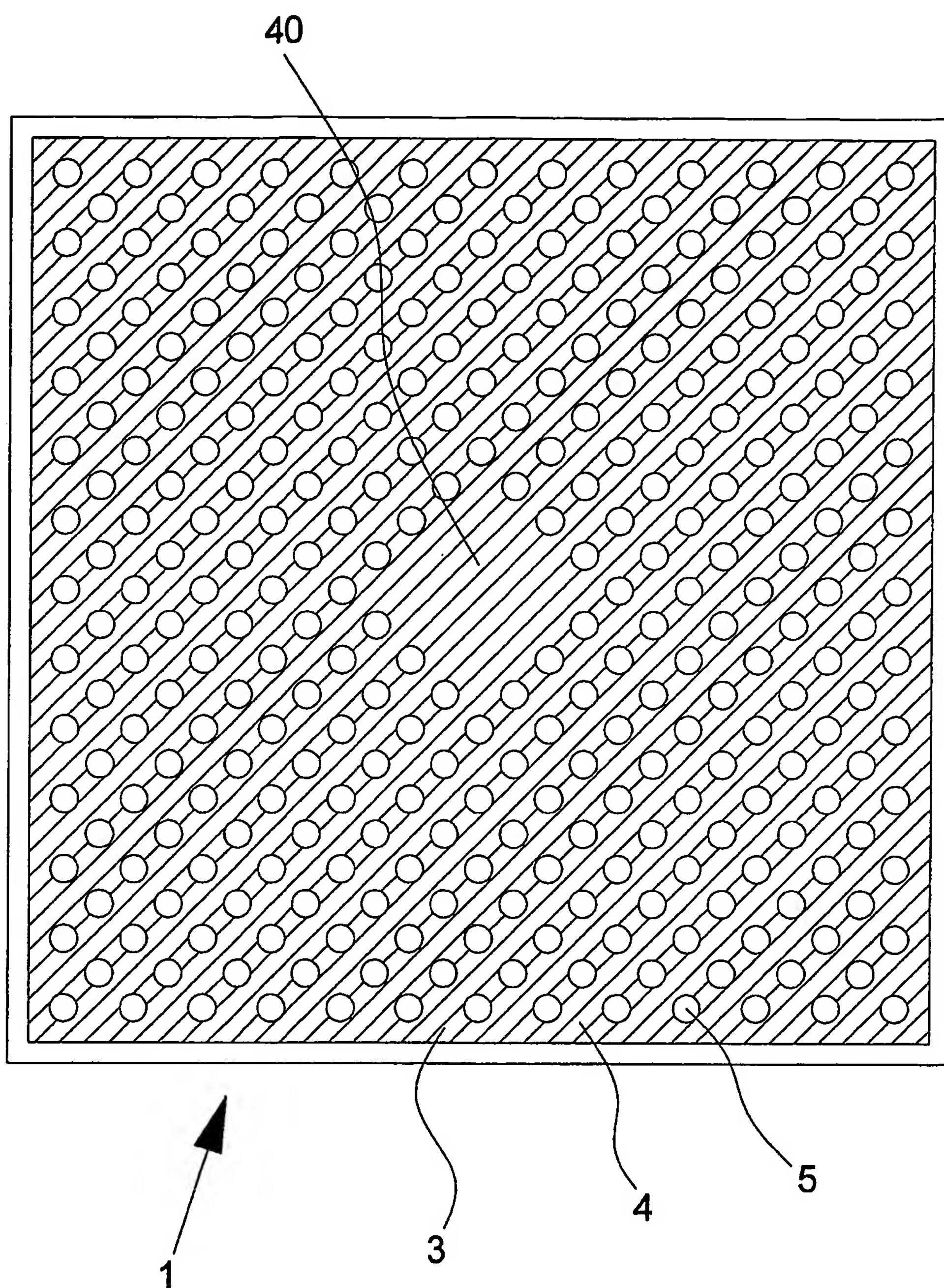


Fig. 26

27 / 27

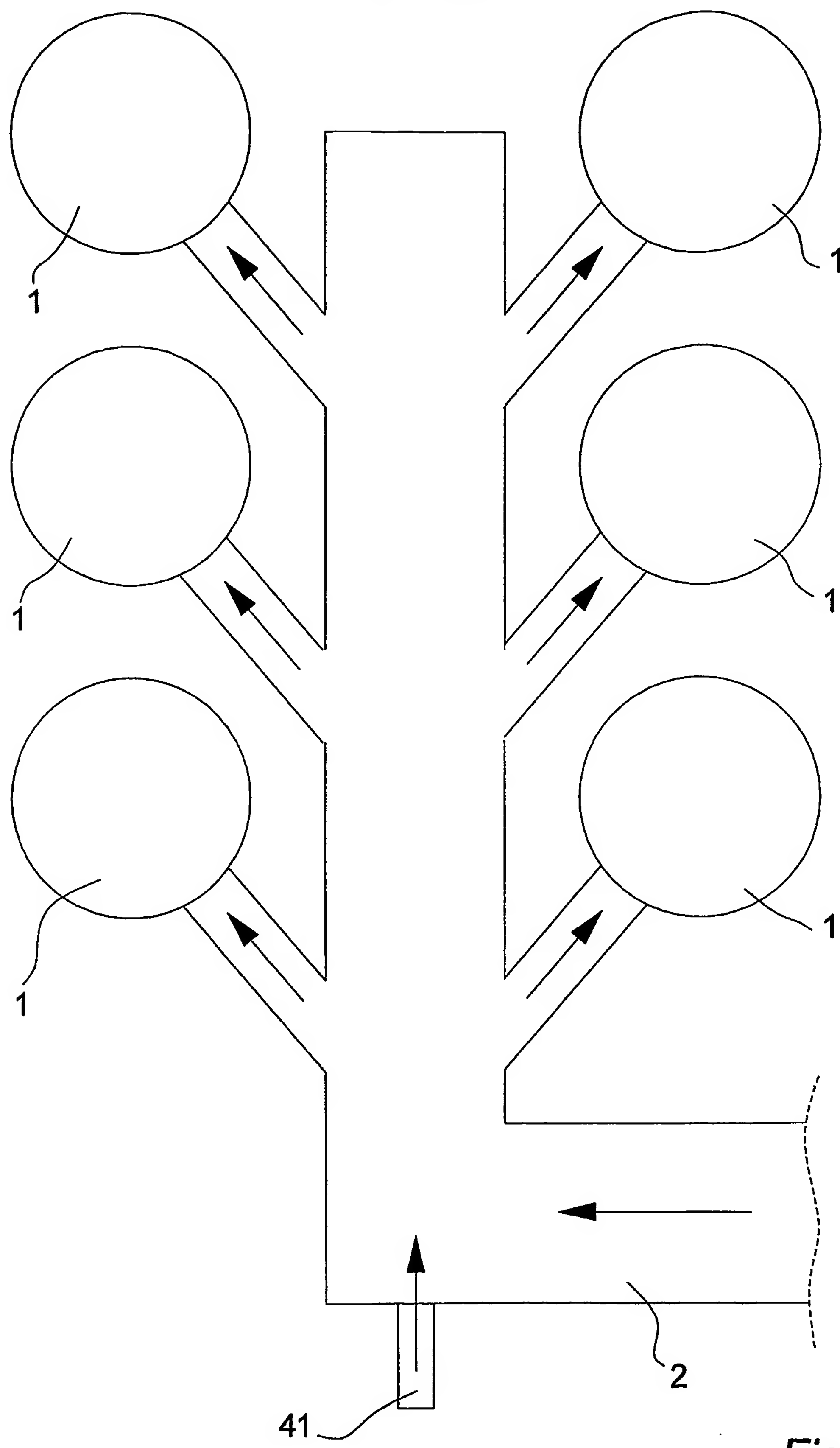


Fig. 27